

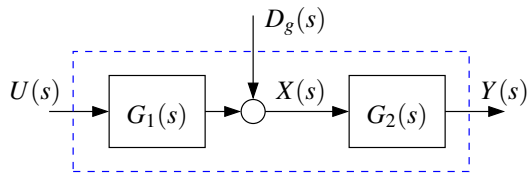
ELO270 – S2 2019 – Control #6 (*online*)

Problema 6.1 Considera una planta como la de la figura inferior, en que los bloques tienen modelo nominal

$$G_1(s) = \frac{1}{s - mm} \quad G_2(s) = \frac{a(s - dd)}{s(s + a)} e^{-\tau_o s}$$

respectivamente en que $a \approx 25$, $\tau_o \approx 0,1$ y dd y mm son el día y mes de su cumpleaños, respectivamente. La referencia a seguir está en la banda $[0, 15]$ rad/s. La perturbación $d_g(t)$ es medible sin ruido apreciable y tiene energía concentrada en torno a 10 rad/s. El sensor disponible para medir $y(t)$ es preciso hasta aproximadamente 10 rad/s, mientras que el sensor para $x(t)$ es preciso hasta aproximadamente 20 rad/s.

- (a) Indique su fecha de cumpleaños: dd/mm.
- (b) Indique los criterios de diseño de un sistema de control que se derivan de la información disponible.
- (c) Proponga un sistema de control que considere adecuadamente los criterios anteriores (indicando claramente cómo diseñaría cada bloque), pero que a su vez sea lo más simple posible.



1

Solución:

a) dd / mm en que $1 \leq dd \leq 31$
y $1 \leq mm \leq 12$

- b) i) La planta tiene un pds instable en $S = mm$
 $\Rightarrow B_w(T_0) \geq mm$ para evitar overshoot excesivo

ii) Tiene un cero de Fase mínima en $S = dd$
 $\Rightarrow B_w(T_0) \leq dd$ para evitar undershoot excesivo

iii) El rotando puede despreciarse $\Rightarrow B_w(T_0) \leq \frac{1}{\zeta} \approx 10$
o approximarse por Padé(1) $\Rightarrow B_w(T_0) \leq \frac{3}{\zeta} \approx 30$

iv) El pds rápido (estable) de la planta puede despreciarse, pues
tiene impado a partir de 25 rad/s $\Rightarrow B_w(T_0) \leq 25$

v) Para seguimiento a referencia $B_w(T_0) \geq 15$

vi) Para rechazar perturbación $dg(t) \Rightarrow B_w(T_0) \geq 10$

vii) Ruido de medición en $y(t) \Rightarrow B_w(T_0) \leq 10$

viii) Ruido de medición en $x(t) \Rightarrow B_w(T_0) \leq 20$ (si se usa control en cascada)

* Note que algunos de estos criterios pueden ser contradictorios con los que depende de su efecto de maximicio.

(2)

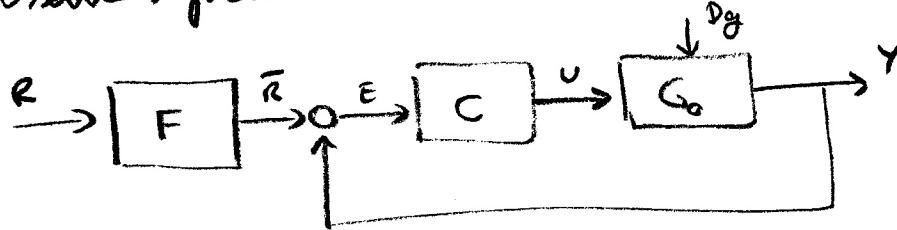
c) De los criterios anteriores tenemos que

$$B_{w(T_c)} \geq 15 \quad (\text{según criterio de referencia})$$

$$B_{w(T_c)} \leq 10 \quad (\text{para ruido de medida o para robustez si se designa rotundo})$$

No es factible con largo de 1 grado de libertad.

\Rightarrow Usamos prealimentación de referencia:



$$\text{en que } G_o(s) = \left(\frac{1}{s - mm} \right) \left(\frac{s - dd}{s} \right) = \frac{B_o(s)}{A_o(s)}$$

describiendo polo rápido y rotundo

Primero se diseña $C(s)$ para que $B_w(A_d) \approx 10$ (para dg)
y luego $F(s)$ para que $B_w(F T_o) \geq 15$

* Este diseño es suficiente si la elección de
andén de bode de largo satisface

$$\underbrace{mm \leq B_w(A_d) \leq dd}_{\begin{array}{l} \text{para evitar} \\ \text{overshoot excesivo} \end{array}} \quad \underbrace{\text{para evitar undershoot}}_{\text{excesivo}}$$

$$\text{diseño de } C(s): \quad \left. \begin{array}{l} M=2 \\ \zeta=1 \end{array} \right\} M_C=2 \Rightarrow C(s) = \frac{P_2 s^2 + P_1 s + P_0}{s(s+\zeta)} = \frac{P(s)}{C(s)} \quad (\text{PID})$$

$$A_d(s) = (s^2 + 2\zeta\omega_n s + \omega_n^2) (s + p)^2$$

$\omega_n \approx 10$ $p > 10$
 $\zeta \approx 0.7$

$$\Rightarrow A_d(s) = A_d(s) L(s) + B_o(s) P(s)$$

⋮

$$\{ P_2, P_1, P_0, \dots \}$$

diseño de $F(s)$:

$$T_o(s) = \frac{B_o P}{A_{cl}} = \frac{(s-dd)(p_2 s^2 + p_1 s + p_0)}{(s^2 + 2\zeta \omega_n s + \omega_n^2)(s + p)^2}$$

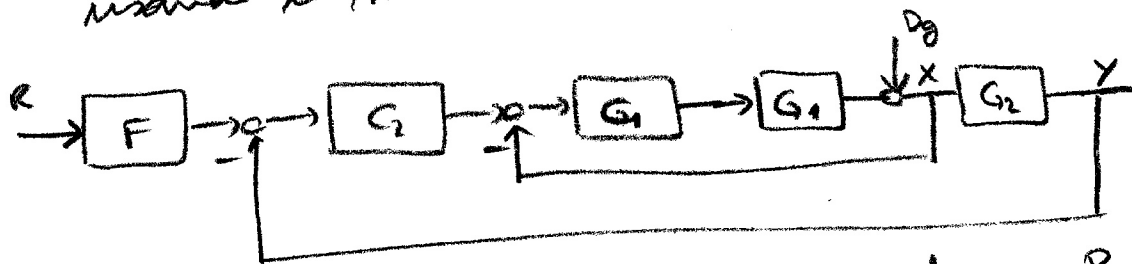
$$\Rightarrow F(s) \approx (T_o(s))^{-1} \quad \text{para debe ser ESTABLE y PROPIA}$$

Por ejemplo: $F(s) = \frac{(s^2 + 2\zeta \omega_n s + \omega_n^2)(np)^2}{(-dd)(p_2 s^2 + p_1 s + p_0)} \cdot \frac{\omega_m^2}{s^2 + 2\zeta_2 \omega_m s + \omega_m^2}$

sabiendo que es estable

$\omega_m \geq 15$
 $\zeta \approx 0.7$

(★★) Si no se cumple $m_m \leq 10 \leq dd$ es conveniente usar control en cascada (adicional < la prediminución del ref.) usando la medición de $x(t)$



diseño de G_1 : para que elijo interno tenga $B_w(A_{cl1}) > m_m$
y para corregir perturbación

$$G_1(s) = \frac{1}{s-m_m} = \frac{B_{cl1}(s)}{A_{cl1}(s)} \Rightarrow \left. \begin{array}{l} M=1 \\ r=1 \end{array} \right\} m_c=1 \Rightarrow G_1 = \frac{p_1 s + p_0}{s} = \frac{P_1(s)}{L_1(s)} (PI)$$

$$A_{cl1}(s) = s^2 + 2\zeta \omega_m s + \omega_m^2 \quad \left. \begin{array}{l} \omega_m \approx 15 \\ \zeta \approx 0.7 \end{array} \right.$$

$$A_{cl1} = A_{cl1} L_1 + B_{cl1} P_1$$

⋮

$$\{P_1, P_0\}$$

diseño de C_2 : usamos como "planta"

$$\tilde{G}_2(s) = T_{01}(s) G_{02}(s) = \frac{p_1 s + p_0}{s^2 + 2\zeta_{un} s + \omega_n^2} \cdot \frac{s - dd}{s} = \frac{\tilde{B}_0(s)}{\tilde{A}_0(s)}$$

Por asignación de polos se diseña $C_2(s)$ de manera que el lazo exterior tiene $B_w(A_{cl2}) \leq dd$ para evitar undershoot excesivo

$$\begin{array}{l} \tilde{N} = 3 \\ \tilde{\tau} = 1 \end{array} \quad \Rightarrow \quad \tilde{m}_c = 3 \Rightarrow C_2(s) = \frac{p_3 s^3 + p_2 s^2 + p_1 s + p_0}{s(s^2 + \tilde{\ell}_1 s + \tilde{p}_0)} = \frac{\tilde{P}}{\tilde{\Sigma}}$$

$$\tilde{A}_{cl}(s) = (s^2 + 2\tilde{\zeta}_{un} s + \tilde{\omega}_n^2)(s + \tilde{p})^4$$

$$\tilde{\omega}_n \approx dd \quad \tilde{p} > dd$$

$$\tilde{\zeta} \approx 0.7$$

$$\Rightarrow \tilde{A}_{cl} = \tilde{A} \tilde{P} + \tilde{B}_0 \tilde{P}$$

;

$$\{ p_3, p_2, p_1, p_0, \tilde{\ell}_1, \tilde{p}_0 \}$$

(★☆☆) Note que no es necesario utilizar la prediminutación de la perturbación como complemento al caso (★) o al caso (☆☆)